

- динамической стадии фазовых превращений при электрическом взрыве металлов. Препринт № 83—91. Новосибирск: ИЯФ СО АН СССР, 1983.
6. Худяев С. И., Столин А. М., Маклаков С. В. Теневой взрыв в условиях фазового превращения.— ФГВ, 1983, № 5.
 7. Худяев С. И., Столин А. М. Анализ условий самовоспламенения в цилиндрическом объеме при фронтальном фазовом превращении.— Хим. физика, 1984, № 9.
 8. Маклаков С. В., Столин А. М., Худяев С. И. Фазовый переход в условиях неподогрева квазитермического течения жидкости.— ПМТФ, 1984, № 4.
 9. Бостанджиан С. А., Мержанов А. Г., Худяев С. И. О гидродинамическом тепловом «взрыве».— ДАН СССР, 1965, т. 163, № 1.
 10. Франк-Каменецкий Д. А. Диффузия и теплопередача в химической кинетике. М.: Наука, 1967.
 11. Худяев С. И. Некоторые оценки собственных значений сферически-симметричных задач.— В кн.: Численные методы решения задач математической физики. М.: Наука, 1966.
 12. Вольперт А. И., Худяев С. И. Анализ в классах разрывных функций и уравнения математической физики. М.: Наука, 1975.
 13. Мержанов А. Г., Столин А. М. Гидродинамические аналоги явлений воспламенения и потухания.— ПМТФ, 1974, № 1.
 14. Истратов А. Г., Либрович В. Б. Об устойчивости решений в стационарной теории теплового взрыва.— ПММ, 1963, т. 27, вып. 2.
 15. Столин А. М. Неподогревающее течение жидкости в капилляре. Неподогревающее течение жидкости в ротационном вискозиметре.— В кн.: Диффузия и вязкость полимеров. Методы измерения. М.: Химия, 1979.
 16. Бостанджиан С. А., Мержанов А. Г., Худяев С. И. Некоторые задачи о неподогревающем стационарном течении вязкой жидкости.— ПМТФ, 1965, № 5.

Поступила 5/IV 1984 г.

УДК 542.953+541.182/3

ДИНАМИКА ПРОЦЕССА ДРОБЛЕНИЯ КАПЕЛЬНОЙ ЖИДКОСТИ В ТУРБУЛЕНТНОМ ПОТОКЕ

B. I. Логинов

(Москва)

Дробление капельной жидкости в турбулентном потоке дисперсионной среды является неотъемлемой частью всех технологических процессов, связанных с образованием аэрозольных и эмульсионных систем. Для случая изотропной турбулентности, когда динамика процесса изменения распределения частиц дисперсной фазы по размерам $N(v, t)$ определяется только процессами их дробления, функция $N(v, t)$ есть решение кинетического уравнения

$$(0.1) \quad \frac{\partial N(v, t)}{\partial t} = \int_v^{\infty} f(\omega) n(v, \omega) N(\omega, t) d\omega - f(v) N(v, t),$$

где $f(v)$ — частота дробления частиц в интервале размеров $(v, v + dv)$; $n(v, \omega)$ — вероятность образования частицы в интервале размеров $(v, v + dv)$ при дроблении частицы с размером в интервале $(\omega, \omega + d\omega)$.

Цель данной работы — определение функций $f(v)$, $n(v, \omega)$, решение уравнения (0.1) и анализ полученных результатов. По сведениям автора, в такой постановке задача исследования динамики процесса дробления капельной жидкости ранее не рассматривалась.

1. Определение частоты дробления. Для нахождения функции $f(v)$ воспользуемся следующей моделью. Будем полагать, что дробление одиночной частицы в турбулентном потоке полностью определяется флюктуациями диссипации энергии в ее окрестности. При этом если среднее по объему порядка размера частицы значение диссипации энергии превысит критическое значение $a(v)$, то произойдет акт дробления. В дальнейшем считается, что распределение диссипации энергии в окрестности дробящейся капли равномерное со средним значением $\varepsilon(t)$.

Поскольку, согласно принятой модели, частоту дробления можно трактовать как вероятность пересечения случайным процессом $\varepsilon(t)$ уровня $a(v)$ за единицу времени при условии, что в момент начала отсчета време-

ни $\varepsilon(t) < a(v)$, запишем ее в виде

$$(1.1) \quad f(v) = \lim_{\Delta t \rightarrow 0} \frac{1}{\Delta t} \frac{P\{\varepsilon(t) < a(v), \varepsilon(t + \Delta t) > a(v)\}}{P\{\varepsilon(t) < a(v)\}}.$$

Числитель правой части этого равенства соответствует вероятности того, что среднее значение диссипации энергии в окрестности рассматриваемой частицы в момент времени t меньше, а при $t + \Delta t$ больше величины $a(v)$.

Раскладывая $\varepsilon(t + \Delta t)$ в ряд по Δt и считая процесс стационарным, преобразуем правую часть равенства (1.1) к виду

$$f(v) = \frac{\int_0^{\infty} \varepsilon p_2(a(v), \varepsilon) d\varepsilon}{\int_0^{a(v)} p(\varepsilon) d\varepsilon},$$

где $p_2(\varepsilon, \varepsilon)$ — совместная плотность распределения величины $\varepsilon(t)$ и скорости ее изменения $\dot{\varepsilon}(t)$ в один и тот же момент времени; $p(\varepsilon)$ — одномерное распределение величины $\varepsilon(t)$. Для определения вероятности $p_2(\varepsilon, \varepsilon)$ воспользуемся известным соотношением [1]

$$(1.2) \quad p_2(\varepsilon, \dot{\varepsilon}) = \lim_{\Delta t \rightarrow 0} \Delta t g_2\left(\varepsilon + \frac{\Delta t}{2}\dot{\varepsilon}, \varepsilon - \frac{\Delta t}{2}\dot{\varepsilon}\right),$$

где $g_2(\varepsilon_1, \varepsilon_2)$ — совместная плотность распределения случайной величины $\varepsilon(t)$ в разные моменты времени.

На основе анализа теоретических и экспериментальных результатов по исследованию процесса диссипации энергии в [2] сделан вывод, что $p(\varepsilon)$ хорошо аппроксимируется логарифмическим нормальным законом распределения. Следуя этому результату, запишем $p(\varepsilon)$ в виде

$$(1.3) \quad p(\varepsilon) = \frac{1}{\sqrt{2\pi}\alpha\varepsilon} \exp\left\{-\frac{1}{2\alpha^2}(\ln \kappa\varepsilon)^2\right\}, \quad \alpha^2 = \ln\left(\frac{\sigma_\varepsilon^2}{\varepsilon^2} + 1\right), \quad \kappa = \frac{1}{\varepsilon} \exp\left\{\frac{\alpha^2}{2}\right\},$$

где $\bar{\varepsilon}$ и σ_ε^2 — среднее значение и дисперсия процесса диссипации энергии. Полагая, что процесс $\varepsilon(t)$ взаимно однозначно связан со стационарным гауссовским процессом $x(t)$ с нулевым средним значением, дисперсией α^2 и корреляционной функцией R_x^2 путем преобразования $x = \ln(\kappa\varepsilon)$ двумерной плотности распределения $g_1(x(t), x(t + \tau))$, получим

$$(1.4) \quad g_2(\varepsilon_1, \varepsilon_2) = \frac{1}{2\pi\alpha^2\beta\varepsilon_1\varepsilon_2} \exp\left\{-\frac{1}{2\alpha^2\beta^2}[(\ln \kappa\varepsilon_1)^2 - 2R_x \ln \kappa\varepsilon_1 \cdot \ln \kappa\varepsilon_2 + (\ln \kappa\varepsilon_2)^2]\right\}, \quad \varepsilon_1 = \varepsilon(t), \quad \varepsilon_2 = \varepsilon(t + \tau), \quad \beta^2 = 1 - R_x^2.$$

При таком преобразовании корреляционные функции процессов $\varepsilon(t)$ и $x(t)$ удовлетворяют равенству

$$(1.5) \quad R_\varepsilon^2(\tau) = \frac{\exp\{\alpha^2 R_x^2(\tau)\} - 1}{\exp\{\alpha^2\} - 1}.$$

Для вычисления совместной плотности распределения $p_2(\varepsilon, \dot{\varepsilon})$ требуется знать поведение корреляционной функции $R_\varepsilon^2(\tau)$ только при малых значениях τ . Поскольку процесс диссипации энергии является физическим дифференцируемым процессом с дифференцируемой в нуле корреляционной функцией, будем считать, что при малых величинах τ

$$(1.6) \quad R_\varepsilon^2(\tau) \approx 1 - \left(\frac{\tau}{T_0}\right)^2$$

(T_0 — постоянная времени корреляции для процесса $\varepsilon(t)$). В предположении, что время корреляции зависит только от средней величины диссипации энергии и вязкости дисперсионной среды v , из теории размерности получим $T_0 \approx \sqrt{v/\varepsilon}$.

Соотношения (1.4)–(1.6) позволяют раскрыть правую часть равенства (1.2). Результат вычислений запишем в виде

$$(1.7) \quad p_2(\varepsilon, \dot{\varepsilon}) = \frac{T_0^2}{2\pi c\varepsilon^2} \exp\left\{-\frac{T_0^2}{2c^2}\left(\frac{\dot{\varepsilon}}{\varepsilon}\right)^2 - \frac{1}{2c^2}(\ln \kappa\varepsilon)^2\right\}, \quad c = 1 - \exp\{-\alpha^2\}.$$

Подставляя (1.7) и (1.3) в (1.1) и проводя необходимые преобразования, получим выражения для частоты дробления

$$(1.8) \quad f(y) = \frac{c}{\sqrt{2\pi} T_0 \alpha} \frac{d}{dy} \ln \Phi(y),$$

$$\Phi(y) = \frac{1}{\sqrt{2\pi}} \int_{-\infty}^y e^{-\frac{1}{2}y^2} dy, \quad y = \frac{1}{\alpha} \ln(\kappa a(v)).$$

Чтобы найти величину $a(v)$, воспользуемся моделью механизма дробления капель, основанной на сравнении капиллярных сил и сил вязкого трения. Подобная модель неоднократно обсуждалась [3] в связи с определением минимального размера радиуса капель r_0 , дробящихся в турбулентном потоке:

$$(1.9) \quad r_0 = \gamma \frac{\sigma}{(\rho \sqrt{\varepsilon v})},$$

где σ — межфазное поверхностное натяжение; v , ρ — кинематическая вязкость и плотность дисперсионной фазы; γ — числовой множитель порядка единицы.

Заменяя в (1.9) ε на $a(v)$ и переходя от радиусов к объемам дробящихся капель, получим

$$(1.10) \quad a(v) = \left[\gamma \left(\frac{4\pi}{3} \right)^{1/3} \frac{\sigma}{\rho} \right]^2 \frac{1}{\pi v_0^{2/3}}, \quad v_0 = \frac{4}{3} \pi r_0^3.$$

Величину α , входящую в (0.1), определим на основании результата [4], где из предположения о справедливости гипотезы Миллионщика для пульсаций скорости в поле изотропной турбулентности получено равенство

$$\sigma_\varepsilon^2 = 0,4\varepsilon^2.$$

Подставляя (1.10) в (1.8) и вычисляя величину α , приведем выражение для частоты дробления к виду

$$(1.11) \quad f(x) = \frac{1}{2,03 \sqrt{2\pi} T_0} \frac{d}{dx} \ln \Phi(x), \quad x = -1,1 \ln\left(1,3 \frac{v}{v_0}\right).$$

Эта положительно определенная на вещественной оси функция монотонно убывает с ростом x . Ее с 5%-ной точностью можно аппроксимировать выражениями вида

$$(1.12) \quad 2,03 \sqrt{2\pi} T_0 f(x) = \begin{cases} -x + \frac{0,798}{1 - 0,65x} & \text{при } x \leq 0, \\ \frac{1}{\sqrt{2\pi}} \exp\left\{-\frac{x^2}{2}\right\} (1 + \exp\{-1,65x\}) & \text{при } x \geq 0. \end{cases}$$

Понятие частоты дробления позволяет с вероятностных позиций подойти к определению минимального размера капель, которые могут дробиться в турбулентном потоке. Кажется естественным связать минимальный линейный размер дробящихся капель r_1 с критической частотой дробления f_1 , полагая последнюю равной некоторому малому числу ($0 < f_1 \leq$

$\leqslant 1$). Отождествляя в (1.12) $f(x)$ с f_1 , а v с v_1 и учитывая, что малые значения $f(x)$ принимает при $x > 1$, получим

$$r_0/r_1 \approx 0,92 \exp \{0,41 \sqrt{-\ln z}\},$$

$$z = 2,03 \sqrt{2\pi} T_0 f_1.$$

Величина общепринятого сегодня минимального размера для дробящихся капель r_0 в несколько раз превосходит величину $r_1 (f_1 \leqslant 0,01)$. При этом отношение r_0/r_1 монотонно растет с увеличением интенсивности турбулизации потока (фиг. 1, кривая 1). Равенство r_0 и r_1 достигается при выполнении условия $T_0 f_1 = 0,12$, которое в области развитой турбулентности соответствует значениям $f_1 > 1$. Кривые 2 и 3 отвечают зависимостям отношений двух значений размеров капель r^*/r_1 , вычисленных при разных частотах дробления ($0,01 \geqslant f_1 < f_1^*; f_1/f_2 = 10^{-3}$ и 10^{-4}), от интенсивности турбулизации потока. Как видно из этих графиков, уменьшение величины f_1 даже на три порядка приводит к изменению r_1 не более чем в 1,7 раза. Такая слабая зависимость r_1 от f_1 позволяет (без опасения существенно повлиять на величину r_1) в качестве f_1 выбрать любую из величин $10^{-2}, 10^{-3}$ или даже 10^{-4} , удовлетворяющую нашим представлениям о малости частоты дробления капель, дробление которых практически не наблюдается.

2. Определение функции $n(v, \omega)$. В малых областях (порядка размера капли) турбулентного потока случайным образом может реализоваться большое количество гидродинамических ситуаций, которым соответствуют разные механизмы дробления, а следовательно, и разные варианты дробления. Поэтому функция $n(v, \omega)$, описывающая дробление одиночной капли, является вероятностной по своей природе, что учитывается при ее определении.

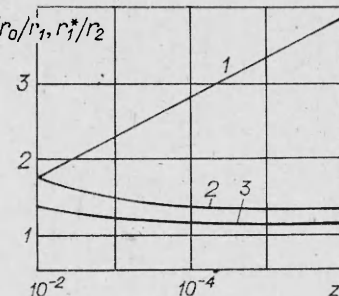
Пусть одиночная капля объема ω может порождать до k штук дочерних капель с объемами v_i ($i = 1, k$). Вероятность образования этих капель будем характеризовать многомерной плотностью распределения $p(v_1, v_2, \dots, v_k, \omega)$. При этом вероятность образования капли фиксированного объема v будет равна

$$(2.1) \quad n(v, \omega) = \sum_{i=1}^k \int_0^\infty \dots \int p(v_1, \dots, v_{i-1}, v_i, v_{i+1}, \dots, v_k, \omega) dv_1 \dots \\ \dots dv_{i-1} dv_{i+1} \dots dv_k.$$

В силу равноправности всех v_i плотность вероятностей $p(v_1, \dots, v_k, \omega)$ должна быть симметричной функцией этих переменных, а все интегралы в (2.1) равны между собой. Поскольку значение каждого интеграла в (2.1) есть одномерная плотность распределения $g(v, \omega)$, запишем соотношение (2.1) в виде $n(v, \omega) = kg(v, \omega)$.

Многочисленные наблюдения актов дробления одиночных капель [3] в различных гидродинамических условиях свидетельствуют о том, что при дроблении обычно образуются несколько (чаще две) примерно одинаковых капель и одна или несколько более мелких капель, так называемых сателлитов. При этом ни в одной из работ не отмечалось корреляции между различными вариантами дробления и размерами дробящихся капель. Отсутствие такой связи позволяет предположить, что функция $n(v, \omega)$ при фиксированных свойствах дисперсной и дисперсионной фаз зависит только от отношения величин v и ω и ее можно записать в виде

$$n(v, \omega) = k \frac{1}{\omega} g\left(\frac{v}{\omega}\right).$$



Фиг. 1

Для сохранения суммарного объема у дочерних капель функция $n(v, \omega)$ должна удовлетворять условию

$$(2.2) \quad \int_0^\omega v n(v, \omega) dv = \omega,$$

из которого следует, что среднее значение плотности распределения $g(y)$ равно

$$\bar{y} = \int_0^1 y g(y) dy = \frac{1}{k}.$$

На основе вышеуказанных наблюдений за дроблениями одиночных капель можно полагать, что функция $g(y)$ является, как правило, бимодальной функцией с двумя четко выраженным максимумами, один из которых расположен в области размеров сателлитов, другой — в области более крупных капель, образующихся при дроблении. Считая функцию $g(y)$ бимодальной, представим ее как сумму двух взвешенных одномодальных плотностей распределений $g_1(y)$ и $g_2(y)$, определенных на интервале $(0,1)$ и имеющих средние значения $y_1 = v_1/\omega$ и $y_2 = v_2/\omega$:

$$(2.3) \quad n(v, \omega) = k_1 \frac{1}{\omega} g_1\left(\frac{v}{\omega}\right) + k_2 \frac{1}{\omega} g_2\left(\frac{v}{\omega}\right), \quad k = k_1 + k_2.$$

По физическому смыслу величины k_1 и k_2 соответствуют математическим ожиданиям суммарных количеств дочерних капель, образующихся в окрестностях размеров y_1 и y_2 . Для выполнения условия (2.2) величины k_i и y_i ($i = 1, 2$) должны удовлетворять равенству $k_1 y_1 + k_2 y_2 = 1$. В предельном случае, когда дисперсии плотностей распределений $g_1(y)$ и $g_2(y)$ будут стремиться к нулю, что соответствует отсутствию разброса в размерах дочерних капель (детерминированная модель дробления), равенство (2.3) можно привести к виду

$$(2.4) \quad n(v, \omega) = k_1 \delta(v - y_1 \omega) + k_2 \delta(v - y_2 \omega),$$

где $\delta(x)$ — делта-функция.

Если функцию $n(v, \omega)$ полагать не бимодальной, а мультимодальной или в случае ее бимодальности не «сжимать» каждое из составляющих ее распределений к среднему значению, а аппроксимировать подходящим дискретным распределением, то вместо (2.4) получим

$$(2.5) \quad n(v, \omega) = \sum_{i=1}^n k_i \delta(v - y_i \omega), \quad \sum_{i=1}^n k_i = k, \quad \sum_{i=1}^n k_i y_i = 1.$$

3. Решение кинетического уравнения. Решение уравнения (0.1) рассмотрим только для случая, когда капли дробятся точно пополам без образования сателлитов. Соответствующая этой модели дробления функция $n(v, \omega)$, согласно ее определению (2.4), имеет вид

$$(3.1) \quad n(v, \omega) = 2\delta(v - 0.5\omega).$$

Подставляя (3.1) в (0.1) и вычисляя интеграл, получим

$$(3.2) \quad \partial N(v, t) / \partial t = 2f(2v)N(2v, t) - f(v)N(v, t).$$

Из структуры этого уравнения видно, что его общее решение можно представить в виде суммы независимых частных решений с дискретными спектрами. При этом если v — максимальный размер капли в начальном условии какого-либо из этих решений, то решение будет определено в точках $2^{-j}v$ ($j = 0, 1, \dots$). Естественно, что начальное условие для этого решения также должно быть определено в этих точках.

Рассмотрим процедуру получения одного из таких решений. Записывая уравнение (3.2) для каждой из точек определения решения, имеем

бесконечную систему уравнений

$$\frac{\partial}{\partial \tau} N_1 = -\varphi_1 N_1, \quad \frac{\partial}{\partial \tau} N_i = 2\varphi_{i-1} N_{i-1} - \varphi_i N_i, \quad i = 2, 3, \dots,$$

$$\tau = \frac{t}{2,05 \sqrt{2\pi T_0}}, \quad N_i = N(z_i, \tau), \quad z_i = 2^{-\frac{i}{2}} \frac{v}{\omega_0}, \quad \varphi_i = 2,03 \sqrt{2\pi} T_0 f(z_i),$$

проводя последовательное решение которых, начиная с первого, получим

$$(3.3) \quad N_1(\tau) = c_1 e^{-\varphi_1 \tau}, \quad N_i(\tau) = \sum_{j=1}^{i-1} c_j \alpha_{ij} e^{-\varphi_j \tau} + c_i e^{-\varphi_i \tau}, \quad i = 2, 3, \dots,$$

$$\alpha_{ij} = 2^{i-j} \left(\prod_{k=j}^{i-1} \varphi_k \right) \left(\prod_{k=j+1}^i (\varphi_k - \varphi_j) \right)^{-1}.$$

Постоянные коэффициенты c_i определяются начальными условиями и являются решением системы линейных уравнений

$$N_1(0) = c_1, \quad N_i(0) = \sum_{j=1}^{i-1} c_j \alpha_{ij} + c_i, \quad i = 2, 3, \dots,$$

проводя последовательное решение которых, найдем

$$c_1 = N_1(0), \quad c_i = N_i(0) - \sum_{j=1}^{i-1} c_j \alpha_{ij}, \quad i = 2, 3, \dots$$

На основе частного решения (3.3) можно построить алгоритм для определения общего решения уравнения (3.2). Рассмотрим вначале случай, когда начальное условие для уравнения (3.2) задано в виде решетчатой функции $F(v)$, определенной на упорядоченной системе точек v_i , удовлетворяющих условию $v_i > v_{i+1}$. Эту функцию всегда можно представить в виде суммы решетчатых функций, каждая из которых будет определять начальное условие для частного решения (3.3). Слагаемые суммы вычислим при помощи следующей рекуррентной процедуры. На первом шаге выделяем начальное условие $F_1(v)$ для первого частного решения, которое определено в точках $2^{-i} v_1$ ($i = 0, 1, 2, \dots$). Затем вычисляем разность $F(v) - F_1(v)$ и, отождествляя ее с исходной функцией $F(v)$, аналогичным образом находим начальное условие для второго частного решения и т. д. Сумме частных решений с этими начальными условиями соответствует решение уравнения (3.2) с начальным условием в виде функции $F(v)$.

Если начальное условие задано в виде непрерывной функции, то, аппроксимируя ее решетчатой функцией, сведем задачу к предыдущей.

При исследовании решения уравнения (2.5) представляет интерес рассмотреть его зависимость как от времени дробления, так и от вида начальных условий. С этой целью проведены расчеты решения уравнения (3.2) с начальными условиями в виде монодисперсного распределения, сосредоточенного в точке $z = v/\omega_0$, и равномерного распределения на интервале $[z, z/2]$. Величина z изменялась в пределах $10 - 10^6$. Равномерное начальное распределение в расчетах аппроксимировалось решетчатой функцией с десятью ординатами одинаковой амплитуды, расположеннымными с равным шагом при логарифмическом масштабе величины z .

Непосредственной проверкой установлено, что увеличение степени дискретизации начального условия в 2 раза приводит к изменению ниже приведенных результатов не более чем во втором десятичном знаке.

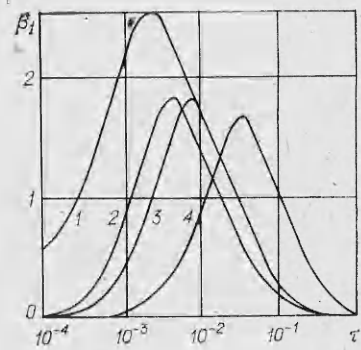
На основе полученных результатов рассчитаны зависимости первых четырех моментов для плотности распределения, соответствующей решению уравнения (3.2), от времени дробления и вычислены координаты диаграммы Джонсона — Пирсона [5]

$$\beta_1(\tau) = \left(\frac{\mu_3(\tau)}{\mu_2^{1.5}} \right)^2, \quad \beta_2 = \left(\frac{\mu_4}{\mu_2^2} \right)^2,$$

где μ_i — центрированный i -й момент плотности распределения.



Фиг. 2



Фиг. 3

При расчете вышеназванных величин дискретные решения уравнения (3.2) аппроксимировались при помощи линейной интерполяции их соседних значений. Все расчеты проводились в логарифмическом масштабе переменной z .

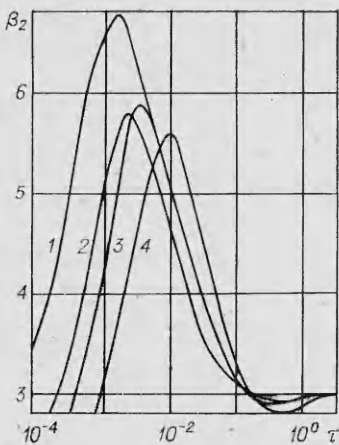
Часть характерных годографов для плотностей распределений частиц по размерам, соответствующих решениям уравнения (3.2) с различными начальными условиями, приведена на фиг. 2 (1 — монодисперсное распределение в точке $z = 10^6$, 2, 3 — равномерное распределение z на интервалах $(0,5 \cdot 10^6 - 10^6]$, $(0,5 \cdot 10^3 - 10^3]$). Все годографы асимптотически сходятся к нормальному закону распределения при логарифмическом масштабе размеров капель. Эта асимптотика сохраняется для всех рассчитанных вариантов решений.

Полученный результат обобщается на произвольное начальное условие, если учесть, что последнее всегда с любой степенью точности можно аппроксимировать суммой монодисперсных распределений. Поскольку каждое из частных решений, соответствующее монодисперсному начальному условию, сходится к нормальному распределению, то на основании центральной предельной теоремы теории вероятностей сумма частных решений также будет сходиться к нормальному распределению при логарифмическом масштабе или логарифмически нормальному — при линейном масштабе размеров частиц.

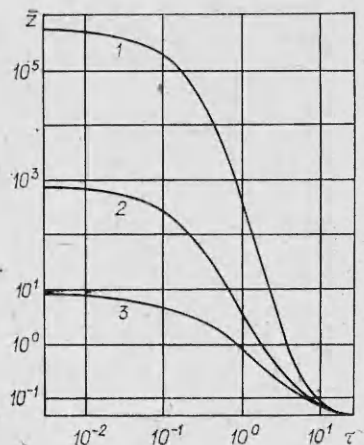
Этот результат полностью совпадает с выводом работы [6], где рассмотрено асимптотическое решение уравнения (0.1) при условии, что $n(v, \omega)$ задано в виде (3.1), а функция $f(v)$ постоянна и не зависит от размеров частиц, там же высказано пожелание проверить полученный вывод для случая, когда $f(v)$ имеет степенной характер от размера дробящихся частиц. Полученные результаты позволяют утверждать, что результаты [6] справедливы не только при степенном характере функции $f(v)$, а даже при более сильной зависимости, определяемой формулой (1.11).

Скорость и время выхода решения на его асимптотическое значение хорошо видны из фиг. 3, 4, где показаны зависимости от времени параметров β_1 и β_2 для решений с различными начальными условиями: 1 — монодисперсное распределение в точке $z = 10^6$; 2—4 — равномерные распределения z на интервалах $(0,5 - 1) \cdot 10^6$, $(0,5 - 1) \cdot 10^3$, $(5 - 10)$. Как видно из фиг. 3, 4, при $\tau > 1$ решение можно считать практически логарифмически нормальным ($\beta_1 = 0$, $\beta_2 = 3$).

На фиг. 5 приведены графики зависимости среднего размера капель от времени дробления, рассчитанные при различных начальных условиях: 1—3 — начальные распределения z на интервалах $(0,5 - 1) \cdot 10^6$, $(0,5 - 1) \cdot 10^3$, $(5 - 10)$. Видно, что даже при сильно различающихся начальных условиях средние значения решений при $\tau \geq 10$ становятся практически одинаковыми.

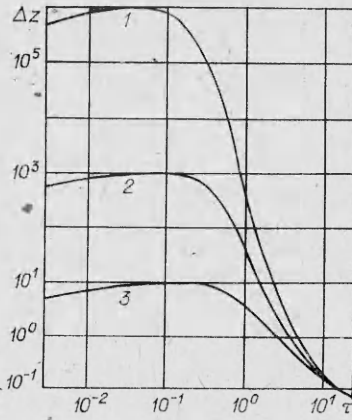


Фиг. 4



Фиг. 5

Для анализа зависимости ширины спектра размеров капель от времени дробления и начальных условий были рассчитаны графики, приведенные на фиг. 6. По оси ординат отложена ширина области размеров Δz , в которую попадает 99 % суммарного количества капель. Кривые 1—3 соответствуют равномерному распределению z в исходной эмульсии на интервалах $(0,5-1] \cdot 10^6$, $(0,5-1] \cdot 10^3$, $(5-10]$. Видно, что, как и для зависимостей от времени средних значений распределения частиц по размерам, при $\tau \geq 10$ величины Δz становятся практически одинаковыми. При этом отношение $\Delta z / \bar{z}$ в области $\tau \geq 10$ имеет значение $\approx 0,5$.



Фиг. 6

ЛИТЕРАТУРА

1. Тихонов В. И. Выбросы случайных процессов. М.: Наука, 1970.
2. Монин А. С., Яглом А. М. Статистическая гидромеханика. М.: Наука, 1967, т. 2.
3. Эмульсии/Под ред. А. А. Абрамзона. Л.: Химия, 1972.
4. Голицын Г. С. Флюктуации диссиpации энергии в локально изотропном турбулентном потоке.— ДАН СССР, 1962, т. 144, № 3.
5. Хан Г., Шапиро С. Статистические модели в инженерных задачах. М.: Мир, 1969.
6. Колмогоров А. Н. О логарифмически нормальном законе распределения размеров частиц при дроблении.— ДАН СССР, 1941, т. 31, № 2.

Поступила 6/IV 1984 г.

УДК 535.211:536.4

ИССЛЕДОВАНИЕ ПРОЦЕССА УНОСА ВЕЩЕСТВА С ПОВЕРХНОСТИ ПРИ ВОЗДЕЙСТВИИ ОТРАЖЕННОЙ УДАРНОЙ ВОЛНЫ

*B. I. Кирко, H. I. Пак, E. Г. Попов
(Красноярск)*

В [1] на основе численного моделирования исследовано воздействие умеренных концентрированных потоков энергии (с плотностью $q \sim 10^5-10^6$ Вт/см²) на металлы. При отражении сильных ударных волн в газе от жесткой стенки можно получить более мощные лучистые потоки с плотностью $q \sim 10^7$ Вт/см² и выше. В [2] эксперимен-